

水合氧化锆的晶化方式对 Pt/WO₃-ZrO₂ 异构化活性的影响

张娟娟¹, 宋月芹¹, 张艺菲¹, 周晓龙¹, 金亚清¹, 徐龙伢²

¹华东理工大学化工学院石油加工研究所, 上海 200237

²中国科学院大连化学物理研究所, 辽宁大连 116023

摘要:采用不同方法制备了一系列具有一定晶相结构的水合 ZrO₂, 考察了制备方法对水合 ZrO₂ 晶化方式及 Pt/WO₃-ZrO₂ 催化剂催化正己烷异构化活性的影响。采用 X 射线衍射, Raman 光谱和 NH₃ 程序升温脱附对催化剂进行了表征。结果表明, 水合 ZrO₂ 的晶化方式与制备时氧气的存在与否有关, 也大大影响了催化剂的异构化活性。以无氧条件下制备的水合 ZrO₂ 为载体时, Pt/WO₃-ZrO₂ 催化剂具有较高的异构化活性, 而以在空气气氛中制得的水合 ZrO₂ 为载体时, Pt/WO₃-ZrO₂ 几乎无异构化活性。

关键词: 水合氧化锆; 晶化; 铂; 钨酸锆; 异构化

中图分类号: O643 文献标识码: A

Effect of Crystallization of Hydrous Zirconia on the Isomerization Activity of Pt/WO₃-ZrO₂

ZHANG Juanjuan¹, SONG Yueqin^{1,*}, ZHANG Yifei¹, ZHOU Xiaolong¹, JIN Yaqing¹, XU Longya²

¹Petroleum Processing Research Center, School of Chemical Engineering, East China University of Science and Technology, Shanghai 200237, China

²Dalian Institute of Chemical Physics, Chinese Academy of Sciences, Dalian 116023, Liaoning, China

Abstract: A series of crystalline hydrous zirconia supports were prepared by different methods. The preparation method affected the crystallization of the supports and catalytic activity of Pt/WO₃-ZrO₂ for *n*-hexane isomerization. The catalysts were characterized by X-ray diffraction, Raman spectroscopy, and NH₃ temperature-programmed desorption. The crystallization of hydrous zirconia was affected by the ambience used in the synthesis. Crystalline hydrous zirconia prepared in the absence of oxygen led to a catalyst with high activity, and the case was the opposite when it was prepared in the presence of oxygen.

Key words: hydrous zirconia; crystallization; platinum; tungstated zirconia; isomerization

自 Arata 等^[1]发现无定形水合 ZrO₂ 负载 W 经高温焙烧后具有强酸性和异构化活性以来, 载 Pt 和未载 Pt 的钨酸锆催化剂在酸催化, 尤其是在正构烷烃异构化反应中的应用引起了广泛关注^[2~5]。通常认为, 以具有一定晶相结构的水合 ZrO₂ 为载体的钨酸锆无异构化催化活性^[2,5,6]。然而, Huang 等^[7]发现, 以超临界干燥法制备的四方相 ZrO₂ 负载的 W 催化剂表现出很高的正构烷烃转化活性。Cortes-Jacome 等^[8]和宋月芹等^[9]研究表明, 以水热法制备的具有

一定晶相结构的水合 ZrO₂ 为载体时, Pt/WO₃-ZrO₂ 也具有高的异构化活性。由此推断, 水合 ZrO₂ 的制备方法可能对催化剂异构化活性有较大影响。而有关该方面的研究鲜有报道。因此, 本文考察了水合 ZrO₂ 制备方法对 Pt/WO₃-ZrO₂ 催化剂异构化活性的影响。

水合 ZrO₂ 采用不同方法制备。首先采用氨沉淀法制备 Zr(OH)₄ 水凝胶。部分 Zr(OH)₄ 水凝胶在空气中干燥后, 再在空气中于 400 °C 焙烧, 得到的样品记为 ZrO₂(400)。剩余的水凝胶与蒸馏水打浆后, 装入

收稿日期: 2009-12-04.

联系人: 宋月芹. Tel/Fax: (021)64253049; E-mail: yqsong@mail.tsinghua.edu.cn

基金来源: 国家重点基础研究发展计划(973 计划, 2004CB720603); 中国博士后科学基金特别资助项目(200902221)。

本文的英文电子版(国际版)由 Elsevier 出版社在 ScienceDirect 上出版(<http://www.sciencedirect.com/science/journal/18722067>)。

水热釜中, 在一定温度下进行水热处理, 经过滤、干燥后得到的样品记作 ZrO₂(H,t), 其中 H 代表水热法, t 代表水热温度。取部分 ZrO₂(H,200) 样品经 500 °C 下空气中焙烧, 制得的样品记为 ZrO₂(H,200C)。采用浸渍法负载 W 和 Pt, 制得的样品分别记作 Pt/WO₃-ZrO₂(400), Pt/WO₃-ZrO₂(H,t) 及 Pt/WO₃-ZrO₂(H,200C), 样品中 W 和 Pt 的负载量分别为 15% 与 0.5%。X 射线衍射(XRD)在 Philips Magi 型 XRD 仪上进行, 扫描速率 10°/min。NH₃-程序升温脱附(NH₃-TPD)在自制装置上进行, 吸附前, 样品于 650 °C 下 He 气中活化 0.5 h, 然后降至 100 °C 吸附 NH₃至饱和。Raman 光谱在 Microscopic Confocal RM 2000 型 Raman 光谱仪上进行, Ar⁺ 激光器, 激发波长 514.5 nm。

正己烷异构化反应在连续流动的固定床微型反应装置上进行。反应前催化剂在 450 °C 干空气中活化 3 h, 然后降至 280 °C 通入 H₂ 还原 2 h。待催化剂床层温度降到 220 °C, 通入 H₂ 与正己烷($n(\text{H}_2)/n(\text{C}_6\text{H}_{14}) = 30$), WHSV = 1 h⁻¹, 反应总压为 2 MPa。每个温度点下反应 0.5 h, 产物由 GC-920 型色谱仪在线分析。

图 1 为不同水合 ZrO₂ 载体和相应催化剂的 XRD 谱。由图 1(a) 可见, 所有水合 ZrO₂ 样品中均含有四方相和单斜相 ZrO₂, 其中 ZrO₂(H,200) 中四方相的比例高于 ZrO₂(H,250)。ZrO₂(400) 与 ZrO₂(H,250) 的晶相结构较为相似, 但前者的晶化程度略低。此

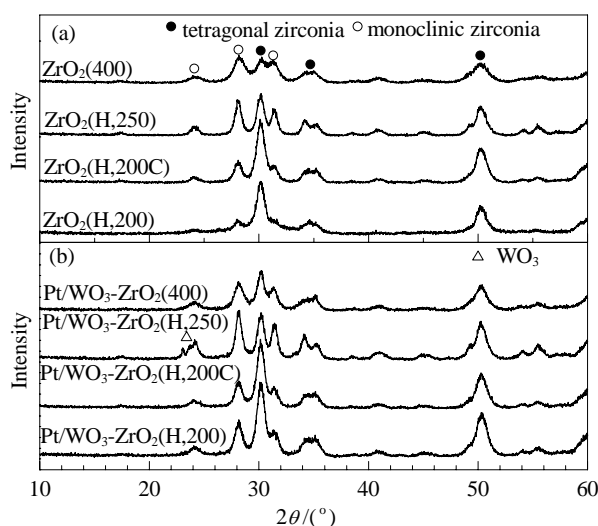


图 1 不同方法制备的水合氧化锆载体及催化剂的 XRD 谱
Fig. 1. XRD patterns of hydrous zirconia prepared by different methods and Pt/WO₃-ZrO₂ catalysts. C and H represent calcination and hydrothermal processes, respectively, and the number in parentheses refers to the treatment temperature.

外, ZrO₂(H,200C) 样品与 ZrO₂(H,200) 的晶相结构较为相似。由图 1(b) 可见, Pt/WO₃-ZrO₂(H,200) 与 Pt/WO₃-ZrO₂(H,200C) 及 Pt/WO₃-ZrO₂(H,250) 与 Pt/WO₃-ZrO₂(400) 均具有相似的晶态结构, 含有四方相和单斜相 ZrO₂, 但后两者中的四方相 ZrO₂ 比例低。此外, 所有催化剂中均出现了 WO₃ 的衍射峰, 表明不同方法制备的催化剂中均存在 WO₃ 微晶。

图 2 为不同催化剂的 NH₃-TPD 谱。450 °C 以下的脱附峰代表样品弱酸中心, 450 °C 以上的脱附峰则与催化剂上强酸中心有关。由图可知, Pt/WO₃-ZrO₂(400) 和 Pt/WO₃-ZrO₂(H,200) 上的总酸量较高, 分别为 3.00 与 3.22 μmol/g, 而 Pt/WO₃-ZrO₂(H,200) 与 Pt/WO₃-ZrO₂(H,200C) 上强酸中心数量略高, 分别为 1.26 和 1.23 μmol/g。

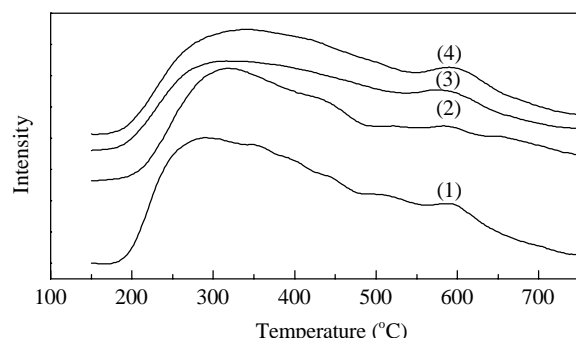


Fig. 2. NH₃-TPD profiles of different catalysts. (1) Pt/WO₃-ZrO₂(400); (2) Pt/WO₃-ZrO₂(H,250); (3) Pt/WO₃-ZrO₂(H,200C); (4) Pt/WO₃-ZrO₂(H,200).

图 3 为不同催化剂催化正己烷异构化活性。由图可见, 催化剂活性的顺序为: Pt/WO₃-ZrO₂(H,200) > Pt/WO₃-ZrO₂(H,250) > Pt/WO₃-ZrO₂(H,200C) > Pt/WO₃-ZrO₂(400)。可见, Pt/WO₃-ZrO₂(400) 的异构化活性非常低, 而以水热法制备的水合 ZrO₂ 为载体时, 催化剂的异构化活性较高。

为了阐明载体的制备方法对催化剂异构化活性的影响, 本文对催化剂活性与其物化性质进行了关联。就催化剂酸性而言, Pt/WO₃-ZrO₂(H,200) 上的强酸中心数量略高于 Pt/WO₃-ZrO₂(H,200C), 但前者的异构化活性远高于后者; 同样, Pt/WO₃-ZrO₂(H,250) 与 Pt/WO₃-ZrO₂(400) 上强酸中心数量较为接近, 但前者异构化活性较高, 后者几乎无活性。由此可见, 要获得高异构化活性的催化剂, 仅有大量强酸中心是不够的。文献[4,10]的研究也表明, 催化剂异构

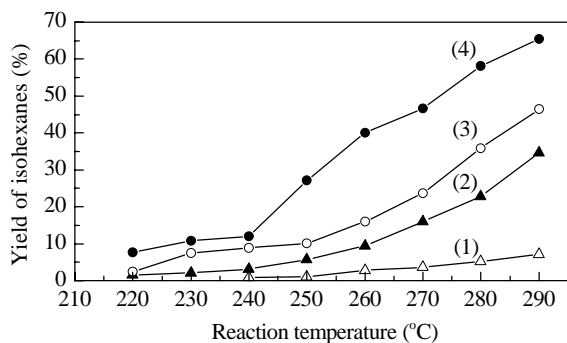


图 3 不同催化剂上的异己烷收率随反应温度的变化

Fig. 3. Yield of isohexanes over different catalysts as a function of reaction temperature. (1) Pt/WO₃-ZrO₂(400); (2) Pt/WO₃-ZrO₂(H, 200C); (3) Pt/WO₃-ZrO₂(H, 250); (4) Pt/WO₃-ZrO₂(H, 200).

化活性与其酸性关系不大。另外, Pt/WO₃-ZrO₂(H, 200)与Pt/WO₃-ZrO₂(H, 200C),以及Pt/WO₃-ZrO₂(H, 250)与Pt/WO₃-ZrO₂(400)分别具有相似的晶相结构,但其异构化活性相差很大。因此,应该还有其他因素决定催化剂的异构化活性。

为了进一步探讨载体制备方法对催化剂异构化活性影响的本质,本文采用 Raman 光谱对不同方法制备的水合 ZrO₂进行了表征。结果表明,ZrO₂(H, 200)和ZrO₂(H, 250)的 Raman 光谱(未列出)中无峰出现,而相应 XRD 谱中却出现了四方相和单斜相 ZrO₂的衍射峰,显然两种方法表征的晶相结构并不一致。由图 4 可见,在空气中热处理制得的 ZrO₂(400)和 ZrO₂(H, 200C)上出现了四方相和单斜相 ZrO₂的峰,与 XRD 结果一致。XRD 表征的是材料的表面和体相结构,而 Raman 光谱仅对材料表面比较敏感。由此推断,ZrO₂(H, 200)与 ZrO₂(H, 250)样品的表面为无定形态,体相中则具有一定的晶相结构,而 ZrO₂(400)的表面和体相均有部分晶化。可见,水热法制得的水合 ZrO₂颗粒仅在内部晶化,表面仍呈无定形态,而直接在空气中焙烧制得的水合 ZrO₂颗粒表面具有一定晶相结构。显然,氢氧化锆热处理方式不同导致了晶化过程不同。为了进一步证实以上观点,将水热法制备的 ZrO₂(H, 200)再在 500 °C 下空气中焙烧,发现焙烧前后 XRD 谱无明显变化(图 1(a)),而焙烧前后的 Raman 谱差别明显,即 ZrO₂(H, 200C) 的 Raman 光谱中出现了四方相与单斜相 ZrO₂的峰。这进一步表明空气中高温处理导致了颗粒表面晶化。结合催

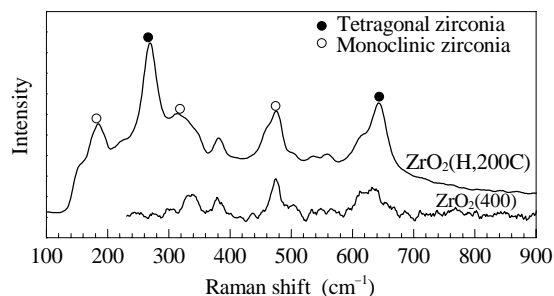


图 4 ZrO₂(H,200C) 和 ZrO₂(400) 催化剂的 Raman 光谱

Fig. 4. Raman spectra of ZrO₂(H,200C) and ZrO₂(400).

化反应数据可以推断,以表面为无定形态而体相被晶化的水合 ZrO₂为载体时,Pt/WO₃-ZrO₂(H, 200)与 Pt/WO₃-ZrO₂(H, 250)催化异构化活性较高,而以表面被晶化的水合 ZrO₂为载体时,Pt/WO₃-ZrO₂(H, 200C)与 Pt/WO₃-ZrO₂(400)催化异构化活性非常低。

虽然许多研究者发现,以晶化后的水合 ZrO₂为载体的钨酸锆催化剂不具有异构化反应活性^[2,5,6],但也有少数的研究者发现,以超临界干燥法和水热法制备的具有一定晶相结构的水合 ZrO₂为载体时,催化剂具有较高的催化活性^[7,8]。然而,有关导致这些结果不同的原因目前尚无报道。本文首次揭示了氢氧化锆热处理气氛的不同,导致了其不同的晶化方式,从而影响了相应催化剂的异构化活性。

参 考 文 献

- 1 Arata K, Hino M. *J Chem Soc, Chem Commun*, 1988, **18**: 1259
- 2 Yori J C, Parera J M. *Catal Lett*, 2000, **65**: 205
- 3 杜宇乔,陈晓蓉,陈长林,徐南平. 催化学报(Du Y Q, Chen X R, Chen Ch L, Xu N P. *Chin J Catal*), 2006, **27**: 397
- 4 Vaudagna S R, Comelli R A, Fígoli N S. *Appl Catal A*, 1997, **164**: 265
- 5 Yori J C, Vera C R, Parera J M. *Appl Catal A*, 1997, **163**: 165
- 6 Barton D G, Soed S L, Meitzner G D, Fuentes G A, Iglesia E. *J Catal*, 1999, **181**: 57
- 7 Huang Y N, Zhao B Y, Xie Y Ch. *Appl Catal A*, 1998, **172**: 327
- 8 Cortes-Jacome M A, Toledo J A, Angeles-Chavez C, Aguilar M, Wang J A. *J Phys Chem B*, 2005, **109**: 22730
- 9 宋月芹,康承琳,冯延龙,刘锋,周晓龙,董任遥,徐龙伢. 催化学报(Song Y Q, Kang Ch L, Feng Y L, Liu F, Zhou X L, Dong R Y, Xu L Y. *Chin J Catal*), 2008, **29**: 1196
- 10 Martinez A, Prieto G, Arribas M A, Concepcion P, Sanchez-Royo J F. *J Catal*, 2007, **248**: 288